

TI – Traitement d'Images

Semaine 9 : Détection de contours (1)

Olivier Losson

Master ASE : <http://master-ase.univ-lille1.fr>
Master Informatique : <http://www.fil.univ-lille1.fr>
Spécialité IVI : <http://master-ivi.univ-lille1.fr>

Pourquoi étudier les contours ?

- **Rôle en traitement d'images**

- ➔ **Réduction d'information**

- Information de toute l'image résumée dans le contours des objets
 - Contours : parties les plus informatives d'une image

- ➔ **Étape souvent nécessaire à l'extraction d'autres primitives**

- notamment géométriques : droites, segments, cercles

- ➔ **Importance des contours dans les systèmes de vision naturels**

- Les caméras essaient généralement de reproduire la vision naturelle, notamment humaine.
 - Des études biologiques ont montré que les premières couches de la vision des mammifères réalisent des traitements de détection de contours.

- **Applications en traitement d'images**

- ➔ **Reconnaissance d'objets, de formes, classification de scènes**

- ➔ **Mise en correspondance stéréoscopique, reconstruction 3D**

- ➔ **Compression d'images, ...**

Plan du cours

- **1 – Des dérivées aux points contours**
 - ➔ **Notion de contour**
 - ➔ **Caractérisation des points contours**
 - ➔ **Rappels sur le gradient (dérivées premières)**
 - ➔ **Utilisation des dérivées secondes**
- **2 – Approches par dérivées premières**
 - ➔ **Recherche des maxima locaux**
 - ➔ **Seuillage local par hystérésis**
- **Sélection de références**

Notion de contour (1/2)

- **Définition**

- **Frontière** qui sépare 2 objets
(ou 1 objet du fond) dans une image.

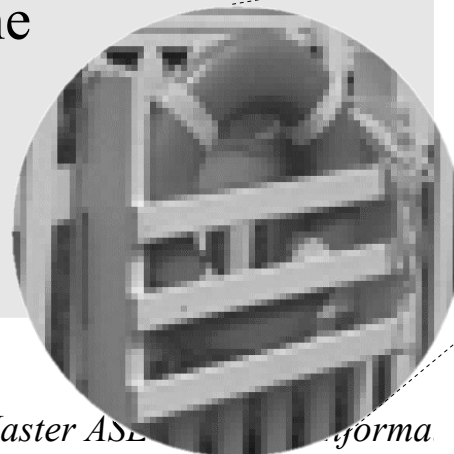
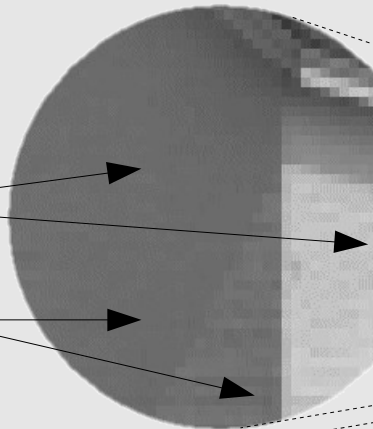
- **Caractérisation des zones de contours**

- Variation brusque (**discontinuité**)
de l'intensité .

- **Ex. de discontinuités**

- d'orientation
de surface
et d'illumination
 - de réflectance

- *Remarque* : toute zone
de discontinuité
ne caractérise
pas forcément
un contour.



Notion de contour (2/2)

- « Détection » de « contours » ?

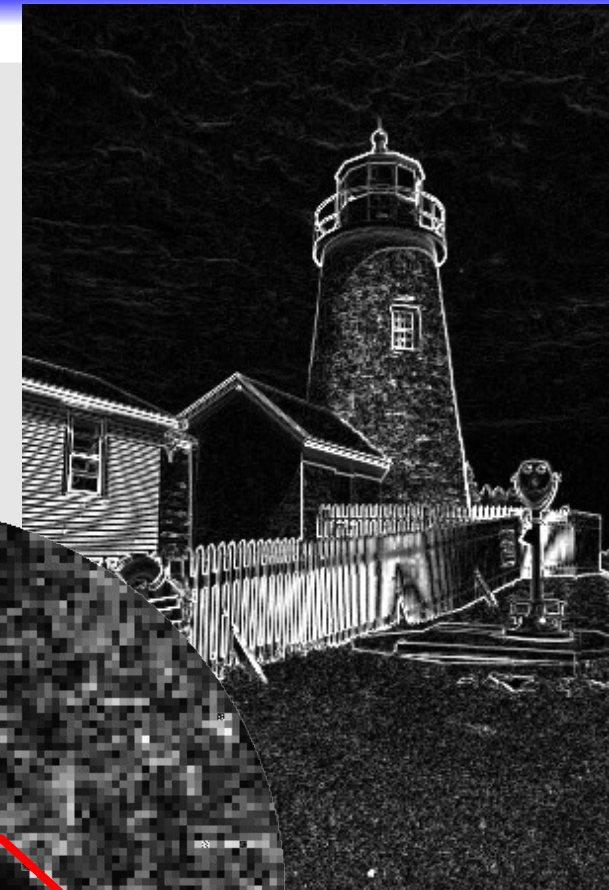
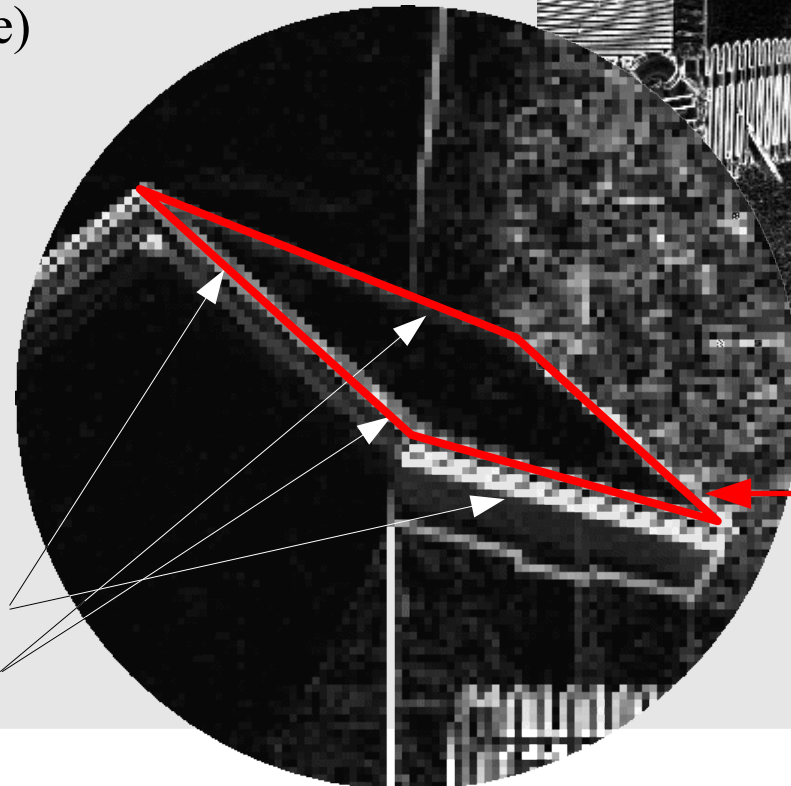
- ➔ **Détection des pixels candidats (points contours)**

- grâce à une propriété particulière (ex. discontinuité de l'intensité)
- avec un certain degré de certitude
- perturbée par le bruit (⇒ lissage préalable nécessaire)

- ➔ **Formation des contours**

- relier les points contours (par **analyse de connexité** ou autre)
- obtention de contours à proprement parler (courbes = chaînes fermées de pixels)

points contours
points contours ?

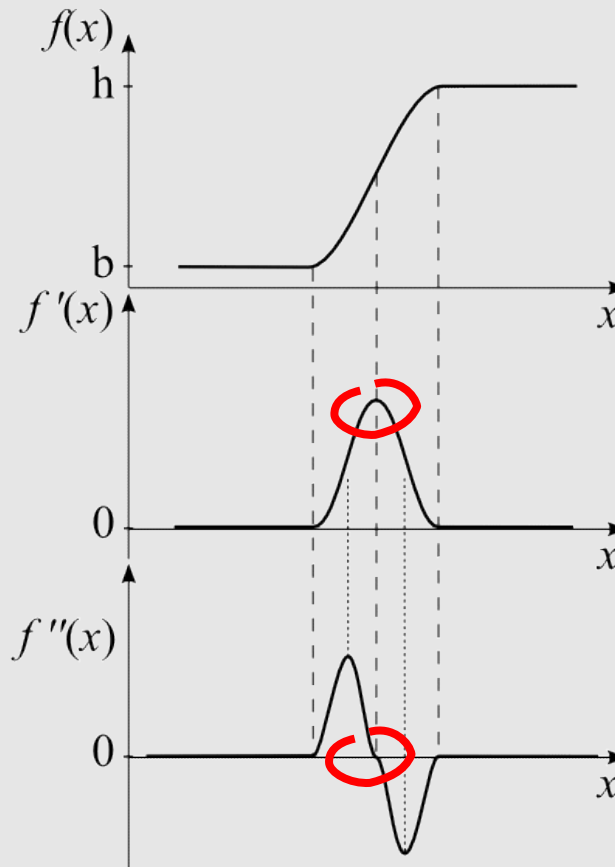


contour

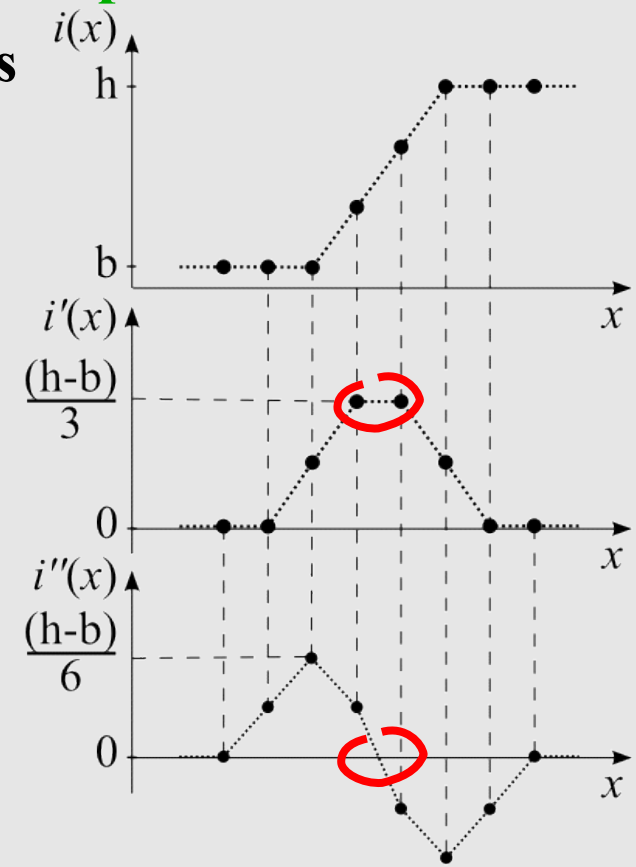
Caractérisation des points contours

- Mise en évidence des zones de contours : **dérivées première et seconde**

→ Fonctions continues



→ Fonctions discrètes



- Détection des points contours : utilisation d'un **critère de décision**

- Dérivée première : **maxima** locaux
- Dérivée seconde : passages par **zéro**

Rappels sur le gradient (1/2)

• Dérivées premières en 2D et vecteur gradient

→ On calcule une dérivée (partielle) de la fonction image f dans chaque direction principale.

→ Le **vecteur gradient** est alors :

$$\vec{\nabla} f(x, y) = \begin{pmatrix} \frac{\partial f}{\partial x}(x, y) \\ \frac{\partial f}{\partial y}(x, y) \end{pmatrix}$$

→ En chaque point (x, y) , le vecteur gradient est caractérisé par :

• sa **norme** (ou module)

$$\|\vec{\nabla} f(x, y)\| = \sqrt{\left(\frac{\partial f}{\partial x}(x, y)\right)^2 + \left(\frac{\partial f}{\partial y}(x, y)\right)^2}$$

• sa **direction**

$$\theta(x, y) = \arctan\left(\frac{\frac{\partial f}{\partial y}(x, y)}{\frac{\partial f}{\partial x}(x, y)}\right)$$

→ La dérivée première directionnelle selon α

$$f'_{\alpha} := \frac{df}{d\alpha} = \frac{\partial f}{\partial x} \cos \alpha + \frac{\partial f}{\partial y} \sin \alpha = \vec{\nabla} f \cdot \vec{\alpha}, \text{ avec } \vec{\alpha} \text{ vecteur unitaire dans dir. } \alpha,$$

est maximale lorsque $\vec{\nabla} f$ et $\vec{\alpha}$ sont colinéaires. Le vecteur gradient est donc dans la direction de **plus grande pente** de f : $\theta = \max_i \frac{df}{d\alpha_i}$

Rappels sur le gradient (2/2)

• Relation entre gradient et contour

→ Analogie avec un relief

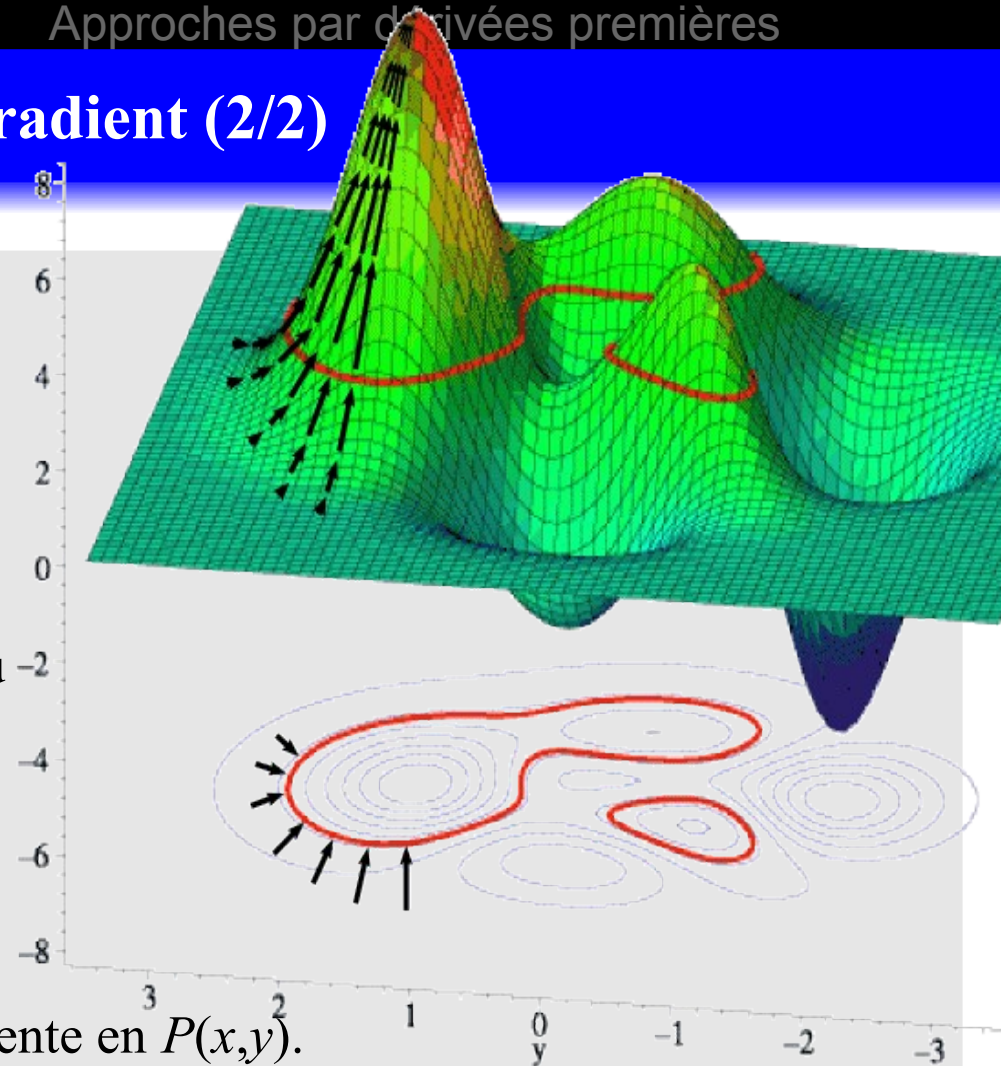
- **Courbe de niveau** : relie les points d'égale altitude
- Le **gradient d'altitude** est
 - orthogonal aux courbes de niveau
 - orienté dans le sens de la montée

→ Propriétés du vecteur gradient

- $\|\vec{\nabla} f(x, y)\| \equiv$ pente de la surface image en $P(x, y)$.
- $\theta(x, y) \equiv$ direction de la plus grande pente en $P(x, y)$.
- orienté dans le sens de la montée (*i.e.* niveaux de gris croissants).

→ Relation entre gradient et contour

- Contour \equiv forte variation locale des niveaux de gris $\equiv \|\vec{\nabla} f(x, y)\|$ élevée.
- $\vec{\nabla} f(x, y)$ est **perpendiculaire au contour** en $P(x, y)$.



Détection des points contours : résumé (1/2)

• Résumé.

- La détection des points contours est basée sur les dérivées premières (gradient) ou secondes de la fonction sous-jacente à l'image.
- Le calcul de ces dérivées est **approché** au moyen de filtres de convolution.
 - Avantages : grande rapidité de calcul, aspect local.
 - Inconvénients : ces filtres sont très sensibles au bruit. Ils nécessitent donc l'emploi de filtres de lissage débruiteurs, souvent intégrés aux filtres de dérivation.
- Les filtres de lissage/dérivation sont moins précis que le filtre de dérivation « pur », mais plus robustes. Ils privilégient donc la **détection** des points contours par rapport à leur **localisation**.

Détection des points contours : résumé (2/2)

- **Vers la détection des contours.**

- ➔ Ces filtres permettent seulement d'estimer la « probabilité » qu'un pixel soit un **point contour candidat**. Il reste donc à :

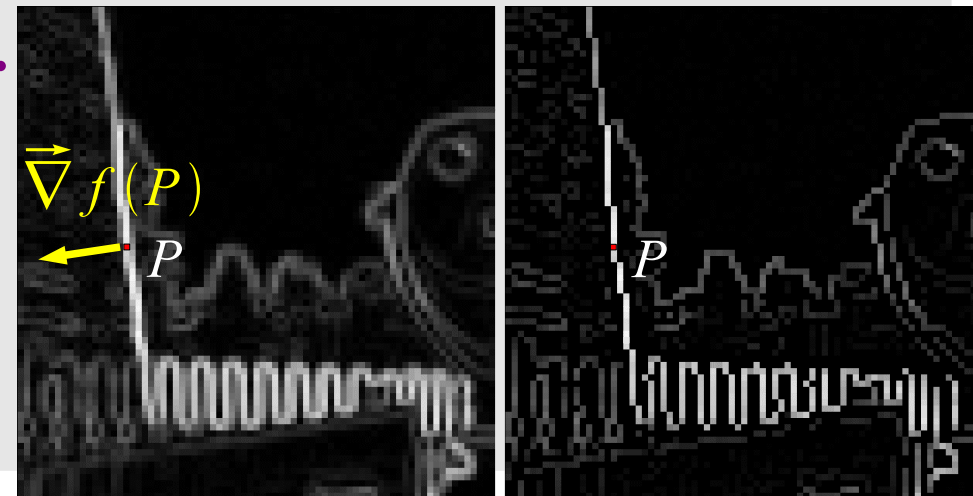
- décider si un pixel est *effectivement* un point contour, par exemple au moyen d'un seuillage :
 - si $\|\vec{\nabla} f(x, y)\| > S$, le pixel $P(x, y)$ est un point contour candidat ;
 - si $\|\vec{\nabla} f(x, y)\| \leq S$, le pixel $P(x, y)$ n'est pas point contour candidat.
- utiliser les points contours pour former les contours proprement dits. Cela nécessite des étapes supplémentaires, car les contours formés par ces points sont :

- épais
- « bruités »
- interrompus (non fermés)



Recherche des maxima locaux (1/3) : principe

- **Utilisation d'un seuil sur la norme du gradient.**
 - Problème avec un seuil de décision S unique pour toute l'image : on risque
 - de ne pas détecter les points contours en zones de faible contraste ;
 - de sélectionner à tort des points contours dans les zones bruitées.
 - Solution : on cherche les maxima **locaux** de la norme du gradient.
- **Maxima locaux.**
 - Principe : on cherche les points P auxquels la norme du gradient est maximale dans la direction **locale** du gradient.
 - Calcul pratique : cf. diapos suivantes.
- **Suppression des non-maxima locaux.**
 - Mettre à 0 la norme du gradient pour les pixels non maxima locaux.
 - Permet d'obtenir ensuite des contours d'épaisseur 1 pixel.



Recherche des maxima locaux (2/3) : calcul

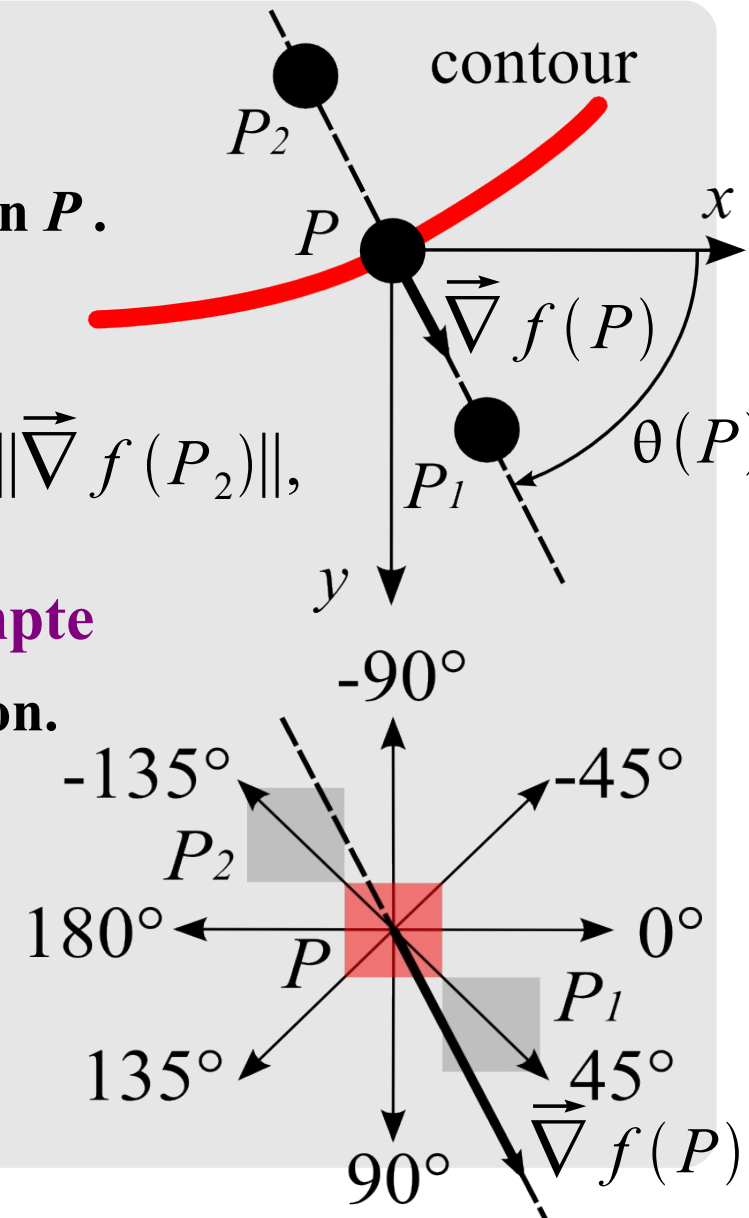
Principe détaillé :

- soient P_1 et P_2 les pixels situés de part et d'autre de P dans la direction θ du gradient en P .
- on compare la norme du gradient en P avec celles du gradient en P_1 et en P_2 .
- Si $\|\vec{\nabla} f(P)\| \geq \|\vec{\nabla} f(P_1)\|$ et $\|\vec{\nabla} f(P)\| > \|\vec{\nabla} f(P_2)\|$, alors P est un maximum local.

Détermination des 2 voisins à prendre en compte

→ Détermination par discrétisation de la direction.

- On arrondit la direction du gradient au multiple de 45° le plus proche.
- Le point P_1 est le pixel voisin de P situé dans cette direction, et P_2 est le pixel opposé par rapport à P .



Recherche des maxima locaux (3/3) : calcul

• Détermination des 2 voisins à prendre en compte (suite)

→ Calcul par interpolation.

- Soient P_1 et P_2 les points (cette fois virtuels) situés à distance unité de P dans la direction du gradient en P .
- On détermine une approximation de la norme du gradient en P_1 et P_2 par interpolation de la norme calculée en leurs 2 pixels voisins.

Soit $g_x := \frac{\partial f}{\partial x}$ et $g_y := \frac{\partial f}{\partial y}$, alors $k \approx \frac{g_x}{g_y}$

et si, par ex. $45^\circ < \theta < 90^\circ$, alors :

$$G(P_1) = \left(1 - \frac{g_x}{g_y}\right) G(x, y+1) + \frac{g_x}{g_y} G(x+1, y+1)$$

$$G(P_2) = \left(1 - \frac{g_x}{g_y}\right) G(x, y-1) + \frac{g_x}{g_y} G(x-1, y-1)$$

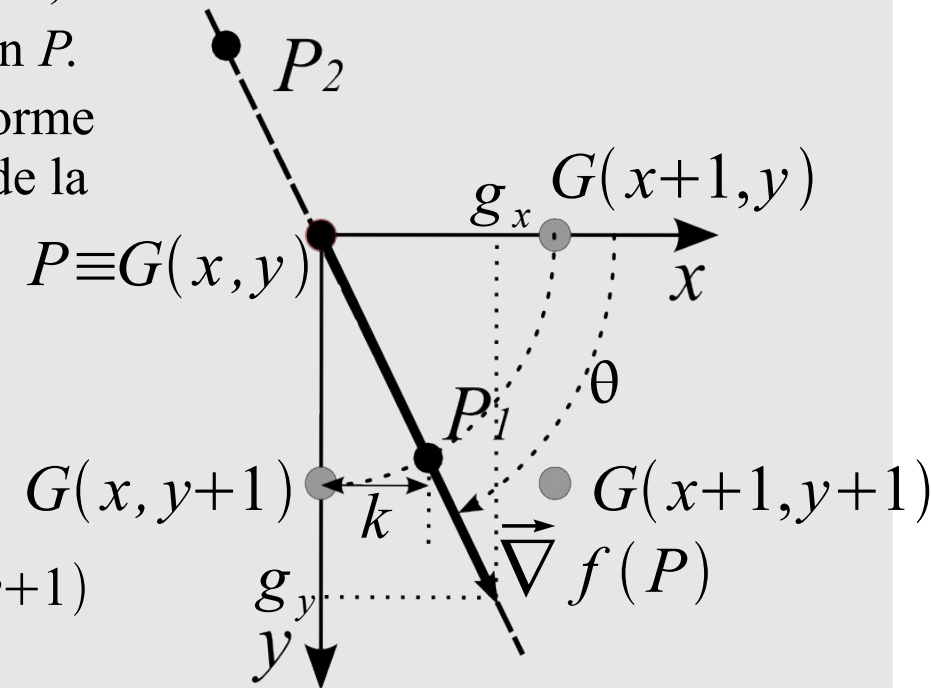


Image G de la norme du gradient

Seuillage local par hystérésis (1/2)

- **But et principe**

- Obtenir une image binaire des pixels contours (0=non contour, 1=contour)
- On réalise pour cela un seuillage local basé sur l'hystérésis (« mémoire »)

- **Algorithme**

- **Paramètres :**

- Image G_M des maxima locaux de la norme du gradient (codée sur 8 bits)
- Un seuil bas (S_b) et un seuil haut (S_h), tous deux dans $[0, 255]$

- **Résultat : image binaire C de même taille que G_M**

- **Principe : à partir des pixels pour lesquels $G_M(x,y) > S_h$, on « propage » ces contours par connexité tant que $G_M(x,y) > S_b$**

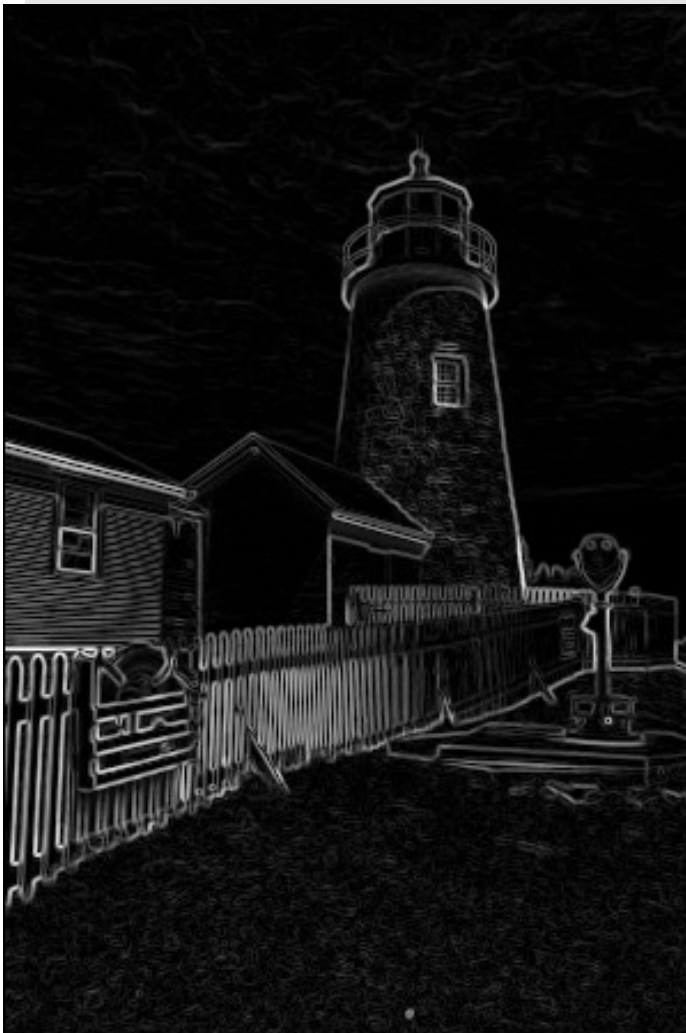
- **Détail : pour chaque pixel (x,y) ,**

- Si $G_M(x,y) < S_b$, $C(x,y) = 0$ (le pixel n'est pas contour)
- Si $G_M(x,y) > S_h$, $C(x,y) = 1$ (le pixel est un contour)
- Si $S_b \leq G_M(x,y) \leq S_h$, $C(x,y) = 1$ s'il est connecté à un autre pixel déjà contour.

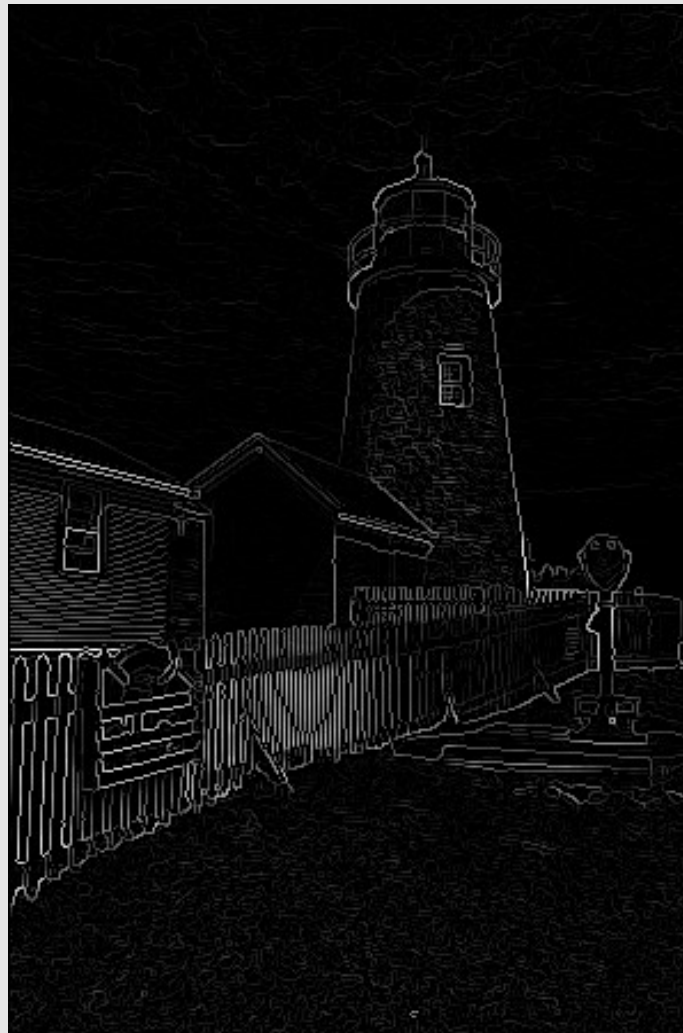


Seuillage local par hystérésis (2/2)

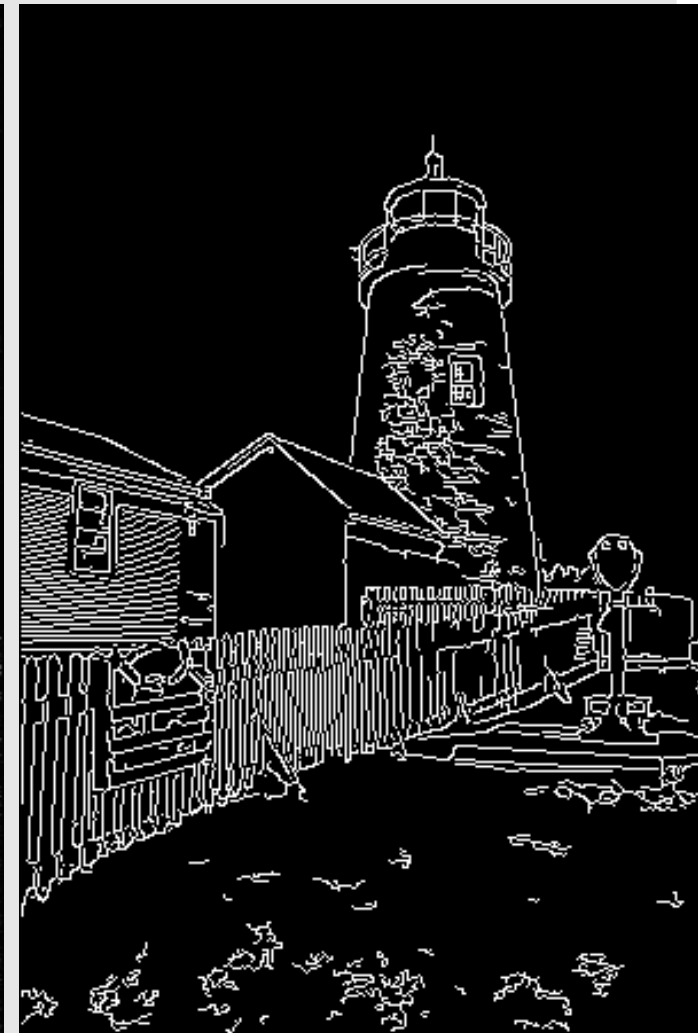
**Norme du gradient $\|G\|$
(Sobel) normalisée [0..255]**



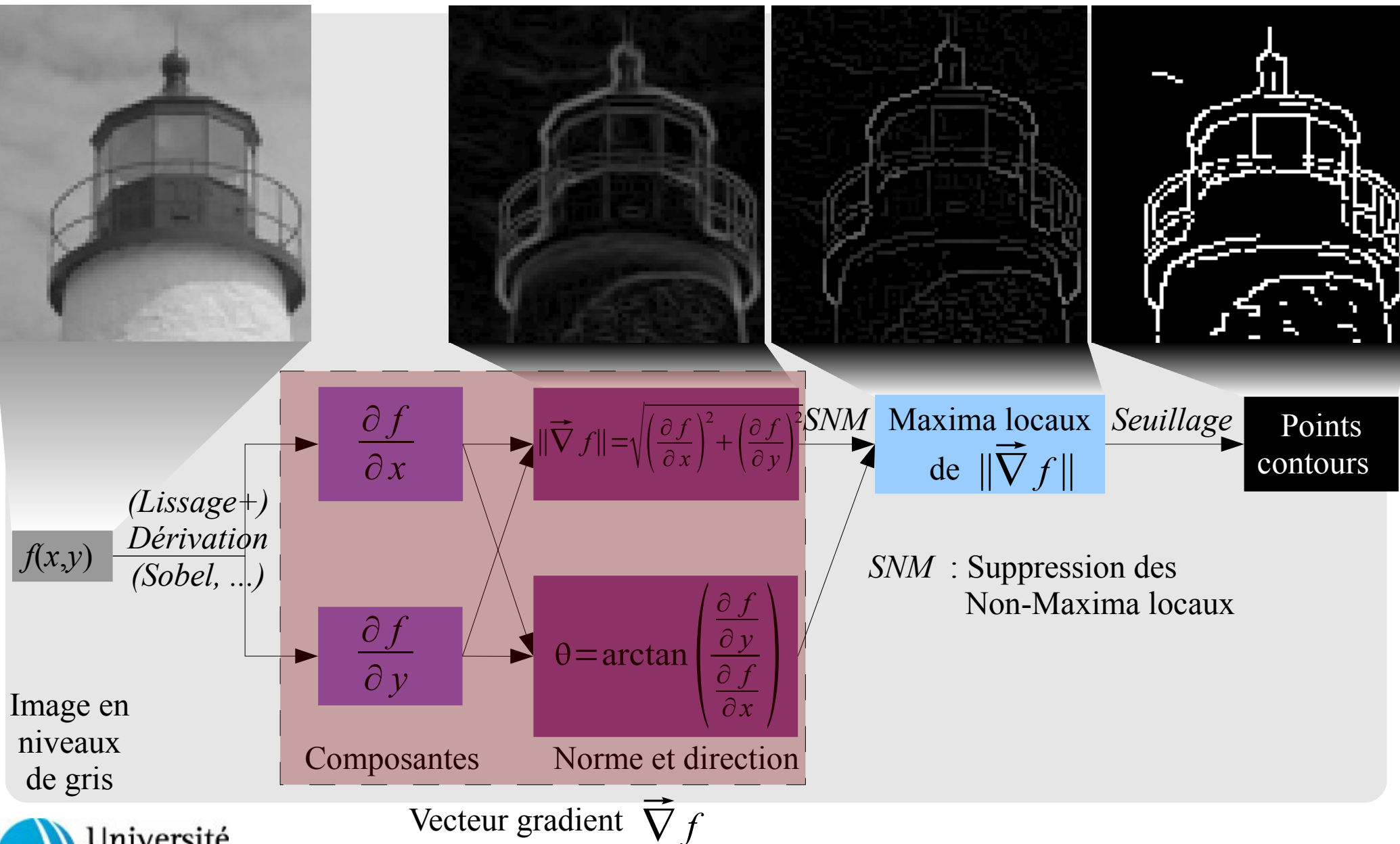
**Maxima locaux de $\|G\|$
normalisée [0..255]**



**Contours après seuillage
seuil bas=17, seuil haut=46**



Approche gradient : résumé



Sélection de références

- **Livre**

- **W. Burger, M.J. Burge, *Digital Image Processing – An Algorithmic Introduction Using Java*, Springer 2008.**

- **Sites web**

- **Cours de J.-H. Thomas (Université du Maine)**

http://www.optique-ingenieur.org/fr/cours/OPI_fr_M04_C05/

[co/OPI_fr_M04_C05_web_1.html](http://www.optique-ingenieur.org/fr/cours/OPI_fr_M04_C05_web_1.html)

- **Cours d'A. Boucher (Institut de la Francophonie pour l'Informatique)**

http://www2.ifi.auf.org/personnel/Alain.Boucher/cours/traitement_images/05-Contours.pdf

- **Sharpening and Edge Detection (R. Wang)**

<http://fourier.eng.hmc.edu/e161/lectures/gradient/gradient.html>

- **Plugin ImageJ pour la détection des points contours (C. Pulvirenti)**

<http://svg.dmi.unict.it/iplab/imagej/Plugins/Edge%20Detectors/Canny/EdgeDetection.htm>

Rappels sur le gradient (2/3)

• Dérivée première en 1D

- Approximation discrète de la dérivée d'une fonction 1D :

$$f'(x) = \frac{df}{dx}(x) \approx \frac{f(x+1) - f(x-1)}{2}$$

- Masque de convolution 1D correspondant : $\frac{1}{2}$

+1	0	-1
----	---	----

• Dérivées premières en 2D et vecteur gradient

- On calcule une dérivée (partielle) de f dans chaque direction principale

- Le **vecteur gradient** est alors : $\vec{\nabla} f(x, y) = \begin{pmatrix} \frac{\partial f}{\partial x}(x, y) \\ \frac{\partial f}{\partial y}(x, y) \end{pmatrix}$

- En chaque point (x, y) , le vecteur gradient est caractérisé par :

- sa **norme** (ou module) $\|\vec{\nabla} f(x, y)\| = \sqrt{\left(\frac{\partial f}{\partial x}(x, y)\right)^2 + \left(\frac{\partial f}{\partial y}(x, y)\right)^2}$
- sa **direction** $\theta(x, y) = \arctan\left(\frac{\frac{\partial f}{\partial y}(x, y)}{\frac{\partial f}{\partial x}(x, y)}\right)$